

# Exemplos

# Exemplos

## Equação do Transporte com Velocidade Variável - Guilherme O.

# Exemplos

## Equação do Transporte com Velocidade Variável

Equação do Transporte com Velocidade Variável:

$$\begin{aligned}u_x + c(x)u_t &= 0 & (x, t) &\in (-9, 9) \times (0, 1), \\u(x, 0) &= f(x) & x &\in (-9, 9),\end{aligned}$$

onde  $u = u(x, t)$ ,  $c(x) = 1/5 + \sin^2(x - 1)$  e  $f(x) = e^{-100(x-1)^2}$ .

Fisicamente, essa equação modela a dinâmica de uma onda, cujo perfil inicial é dado por  $f(x)$  e que se propaga com velocidade  $c(x)$  que varia conforme a posição no espaço.

# Exemplos

## Equação do Transporte com Velocidade Variável

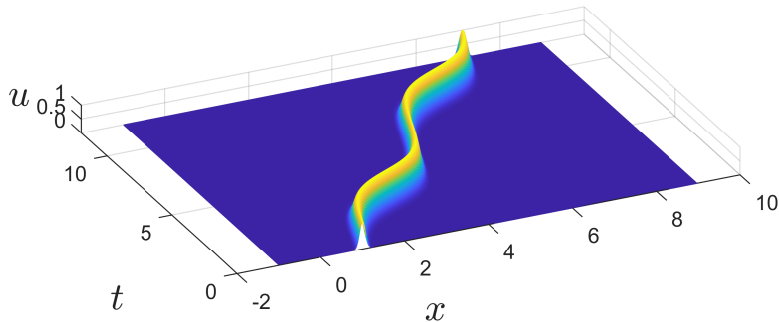


Figura: Solução analítica da Equação do Transporte com Velocidade Variável.

# Exemplos

## Equação do Transporte com Velocidade Variável

$$\begin{aligned}u_x + c(x)u_t &= 0, & (x, t) &\in (-9, 9) \times (0, 1), \\u(x, 0) &= f(x), & x &\in (-9, 9), \\u(\pm 9, t) &= 0, & t &\in (0, 2P),\end{aligned}$$



Prob. 1:  $\min |u_t + c(x)u_x|, \quad (x, t) \in (-9, 9) \times (0, 1),$

Prob. 2:  $\min |u(x, 0) - f(x)|, \quad x \in (-9, 9),$

Prob. 3:  $\min |u(\pm 9, t)|, \quad t \in (0, 2P),$

# Exemplos

## Equação do Transporte com Velocidade Variável

$$\min_{W,b} EQM$$

$$EQM = EQM_{\mathcal{D}} + EQM_0 + EQM_B$$

$$EQM_{\mathcal{D}} = \frac{1}{N_{\mathcal{D}}} \sum_{i=1}^{N_{\mathcal{D}}} |\hat{u}t(x_{\mathcal{D}}^i, t_{\mathcal{D}}^i) + c(x_{\mathcal{D}}^i) \hat{u}x(x_{\mathcal{D}}^i, t_{\mathcal{D}}^i)|^2$$

$$EQM_0 = \frac{1}{N_0} \sum_{i=1}^{N_0} |\hat{u}(x_0^i, 0) - F(x_0^i)|^2$$

$$EQM_b = \frac{1}{N_b} \sum_{i=1}^{N_b} |\hat{u}(\pm \bar{x}, t_b^i)|^2$$

# Exemplos

## Equação do Transporte com Velocidade Variável

### Arquitetura e Parâmetros da Rede Neural:

Parâmetro	Valor
Domínio espacial ( $x$ )	$[-9, 9]$
Domínio temporal ( $t$ )	$[0, 2P]$
Pontos de colocação no domínio ( $N_D$ )	16 000
Pontos de colocação na fronteira ( $N_b$ )	400
Pontos de colocação no valor inicial ( $N_0$ )	1 000
Função de Ativação	tanh
Neurônios por camada	40
Camadas intermediárias	10
Iterações do otimizador	10 000

# Exemplos

Equação do Transporte com Velocidade Variável

Domínio de Previsão:  $(-9, 9) \times (0, 2P)$

Erro Relativo:  $5.6 \times 10^{-3}$

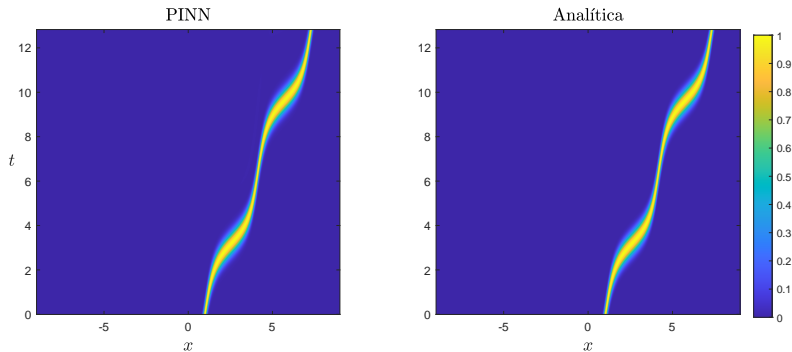


Figura: Solução numérica e solução analítica.



# Exemplos

Equação do Transporte com Velocidade Variável.

Domínio de Previsão:  $(-12, 12) \times (0, 3P)$

Erro Relativo: 1.23

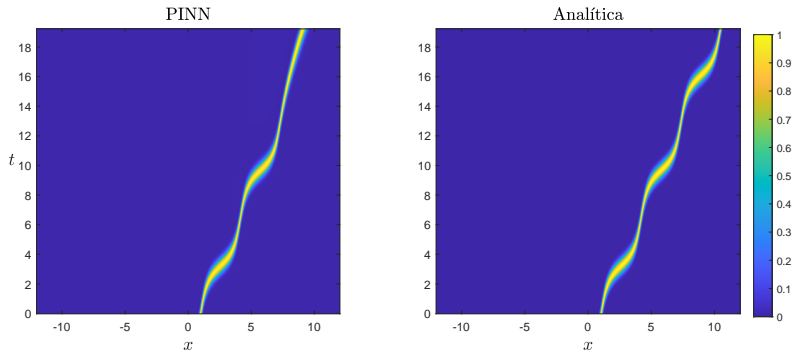


Figura: Solução numérica e solução analítica

# Exemplos

## Equação de Burgers Viscosa - Larry

# Exemplos

## Equação de Burgers Viscosa

A Equação Diferencial Parcial que trataremos consiste em determinar  $u = u(x, t)$  solução de:

$$\begin{aligned}u_t + u u_x - \nu u_{xx} &= 0, & (x, t) &\in (-1, 1) \times (0, 1) \\u(x, 0) &= u_0(x), & x &\in (-1, 1), \\u(-1, t) = u(1, t) &= 0, & t &\in (0, 1),\end{aligned}$$

onde  $\nu$  é a viscosidade.

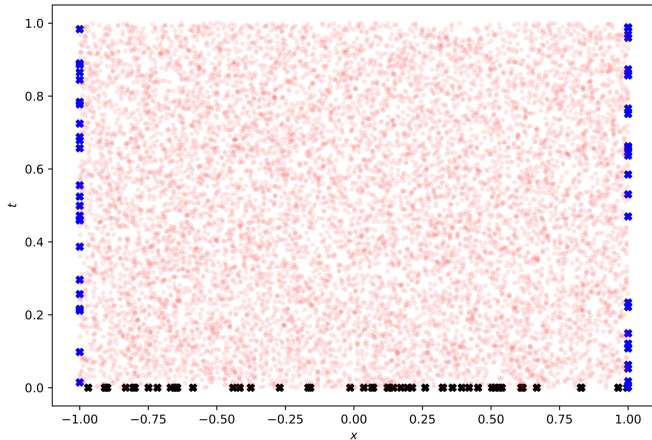
No nosso estudo, consideramos  $\nu = \frac{0.01}{\pi}$  e  $u_0(x) = -\sin(\pi x)$ .

Essa EDP foi inicialmente proposta como um modelo matemático para turbulências.

# Exemplos

Equação de Burgers Viscosa

$N_D$  (Vermelho),  $N_0$  (X Preto) e  $N_b$  (X Azul).



# Exemplos

## Equação de Burgers Viscosa

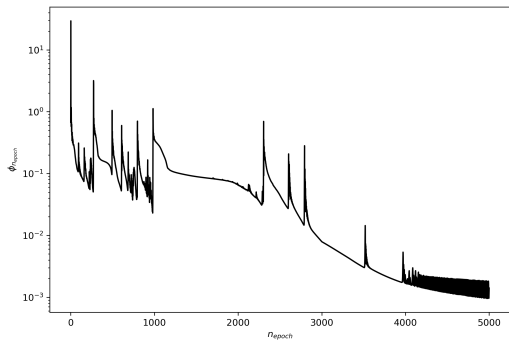


Figura: Oscilação do EMQ.

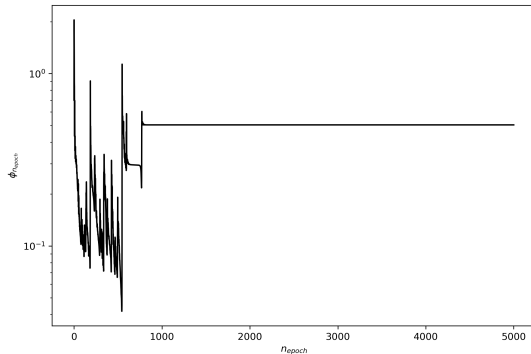


Figura: Não convergência do EMQ.

Figura: Efeitos da Taxa de Aprendizagem.

# Exemplos

## Equação de Burgers Viscosa

Utilizando a técnica de PINNs com os seguintes parâmetros:

Parâmetro	Valor
Domínio espacial ( $x$ )	$[-1, 1]$
Domínio temporal ( $t$ )	$[0, 1]$
Pontos de colocação no domínio ( $N_{\mathcal{D}}$ )	10 000
Pontos de colocação na fronteira ( $N_b$ )	100
Pontos de colocação no valor inicial ( $N_0$ )	100
Função de Ativação	$\tanh$
Neurônios por camada	40
Camadas intermediárias	9
Iterações do otimizador	50 000

Arquivo.gif

# Exemplos

## KdV e mKdv - Guilherme F. e Larry

# Exemplos

## KdV e mKdV

As equações de Korteweg-de-Vries (KdV) e Korteweg-de-Vries modificada (mKdV) modelam a evolução de uma onda não-linear unidimensional dispersiva e não-dissipativa ao longo do tempo. Essas equações podem ser escritas como:

$$u_t + u^p u_x + u_{xxx} = 0, \quad x \in \mathbb{R}, t \in [0, \infty), \quad (1a)$$

$$u(x, 0) = u_0(x, a), \quad x \in \mathbb{R}, \quad (1b)$$

A única diferença entre as duas equações é a potência  $p$  da função  $u$ , sendo a KdV a equação com  $p = 1$  e mKdV a equação com  $p = 2$ .



# Exemplos

## KdV e mKdV

As soluções exatas das equações são:

$$u(x, t) = \begin{cases} a \operatorname{sech}^2(k(x - ct)), & k = \sqrt{a/12}, c = a/3, & \text{se } p = 1, \\ a \operatorname{sech}(k(x - ct)), & k = a/\sqrt{6}, c = a^2/6, & \text{se } p = 2. \end{cases} \quad (2)$$

# Exemplos

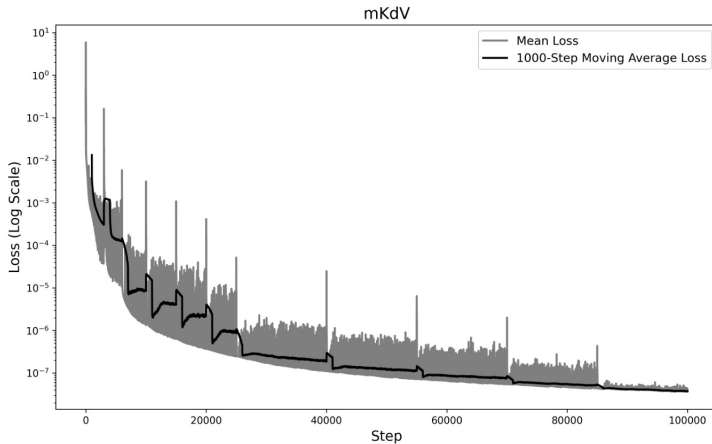
## KdV e mKdV

Resolvemos a equação de Korteweg-de-Vries modificada com *amplitude de onda variando* de 1 a 2, nos seguintes parâmetros.

Parâmetro	Valor
Domínio espacial ( $x$ )	$[-10, 10]$
Domínio temporal ( $t$ )	$[0, 15]$
Pontos de colocação no domínio ( $N_{\mathcal{D}}$ )	10 000
Pontos de colocação na fronteira ( $N_b$ )	4 000
Pontos de colocação no valor inicial ( $N_0$ )	4 000
Função de Ativação	tanh
Neurônios por camada	60
Camadas intermediárias	5
Iterações do otimizador	100 000

# Exemplos

KdV e mKdV



# Exemplos

KdV e mKdV

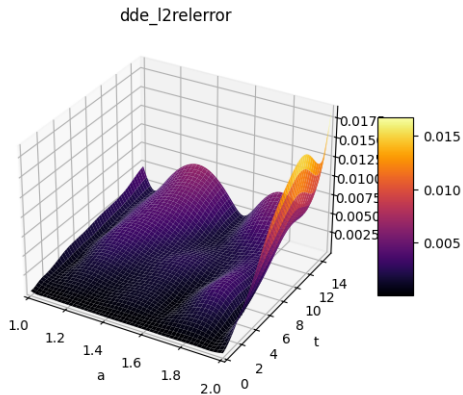


Figura: Erro Relativo L2 ao longo do tempo com amplitude variável.

arquivo.gif

8 de novembro de 2024

LabFluid

# Exemplos

## Benjamin-Bona-Mahony (BBM) - Samuel

# Exemplos

## Benjamin-Bona-Mahony (BBM)

A Equação de Benjamin-Bona-Mahony (BBM) estudada é dada por:

$$\begin{aligned}u_t + u_x + uu_x - u_{xxt} &= 0, & (x, t) &\in (-10, 20) \times (0, 4), \\u(x, 0) &= u_0(x), & x &\in (-10, 20), \\u(-10, t) &= g_1(t), & t &\in (0, 4), \\u(20, t) &= g_2(t), & t &\in (0, 4),\end{aligned}$$

onde

- ▶  $u = u(x, t)$ ;
- ▶  $u_0$  é a **condição inicial** em  $t = 0$ ;
- ▶  $g_1, g_2$  são **condições de contorno** que nos dizem como  $u$  atua na fronteira de  $x$ .

# Exemplos

## Benjamin-Bona-Mahony (BBM)

A Equação de Benjamin-Bona-Mahony (BBM) estudada é dada por:

$$\begin{aligned}u_t + u_x + uu_x - u_{xxt} &= 0, & (x, t) &\in (-10, 20) \times (0, 4), \\u(x, 0) &= u_0(x), & x &\in (-10, 20), \\u(-10, t) &= g_1(t), & t &\in (0, 4), \\u(20, t) &= g_2(t), & t &\in (0, 4),\end{aligned}$$

onde

- ▶  $u = u(x, t)$ ;
- ▶  $u_0$  é a **condição inicial** em  $t = 0$ ;
- ▶  $g_1, g_2$  são **condições de contorno** que nos dizem como  $u$  atua na fronteira de  $x$ .

# Exemplos

## Benjamin-Bona-Mahony (BBM)

A Equação de Benjamin-Bona-Mahony (BBM) estudada é dada por:

$$\begin{aligned}u_t + u_x + uu_x - u_{xxt} &= 0, & (x, t) &\in (-10, 20) \times (0, 4), \\u(x, 0) &= u_0(x), & x &\in (-10, 20), \\u(-10, t) &= g_1(t), & t &\in (0, 4), \\u(20, t) &= g_2(t), & t &\in (0, 4),\end{aligned}$$

onde

- ▶  $u = u(x, t)$ ;
- ▶  $u_0$  é a **condição inicial** em  $t = 0$ ;
- ▶  $g_1, g_2$  são **condições de contorno** que nos dizem como  $u$  atua na fronteira de  $x$ .



# Exemplos

## Benjamin-Bona-Mahony (BBM)

A BBM é utilizada como uma alternativa ao modelo de KdV (apresentado anteriormente) e possui solução viajante da forma:

$$u(x, t) = A \operatorname{sech}^2(k(x - ct)),$$

onde

- ▶  $A > 0$  é dado e chamado de **amplitude**;
- ▶  $k = \sqrt{\frac{A}{12 + 4A}}$ , chamado de **frequência**;
- ▶  $c = 1 + \frac{A}{3}$ , chamado de **velocidade**.

# Exemplos

## Benjamin-Bona-Mahony (BBM)

A BBM é utilizada como uma alternativa ao modelo de KdV (apresentado anteriormente) e possui solução viajante da forma:

$$u(x, t) = A \operatorname{sech}^2(k(x - ct)),$$

onde

- ▶  $A > 0$  é dado e chamado de **amplitude**;
- ▶  $k = \sqrt{\frac{A}{12 + 4A}}$ , chamado de **frequência**;
- ▶  $c = 1 + \frac{A}{3}$ , chamado de **velocidade**.

# Exemplos

## Benjamin-Bona-Mahony (BBM)

A BBM é utilizada como uma alternativa ao modelo de KdV (apresentado anteriormente) e possui solução viajante da forma:

$$u(x, t) = A \operatorname{sech}^2(k(x - ct)),$$

onde

- ▶  $A > 0$  é dado e chamado de **amplitude**;
- ▶  $k = \sqrt{\frac{A}{12 + 4A}}$ , chamado de **frequência**;
- ▶  $c = 1 + \frac{A}{3}$ , chamado de **velocidade**.

# Exemplos

## Benjamin-Bona-Mahony (BBM)

Substituindo na própria equação da BBM anterior, obtemos o nosso problema

$$\begin{aligned}u_t + u_x + uu_x - u_{xxt} &= 0, & (x, t) &\in (-10, 20) \times (0, 4), \\u(x, 0) &= A \operatorname{sech}^2(kx), & x &\in (-10, 20), \\u(-10, t) &= A \operatorname{sech}^2(k(-10 - ct)), & t &\in (0, 4), \\u(20, t) &= A \operatorname{sech}^2(k(20 - ct)), & t &\in (0, 4),\end{aligned}$$

onde  $A > 0$ ,  $k = \sqrt{\frac{A}{12 + 4A}}$  e  $c = 1 + \frac{A}{3}$ .

# Exemplos

Benjamin-Bona-Mahony (BBM)

Utilizando a técnica de PINNs com os seguintes parâmetros:

Parâmetro	Valor
Amplitude inicial ( $A$ )	5
Domínio espacial ( $x$ )	$[-10, 20]$
Domínio temporal ( $t$ )	$[0, 4]$
Pontos de colocação no domínio ( $N_f$ )	15 000
Pontos de colocação na fronteira ( $N_b$ )	100
Pontos de colocação no valor inicial ( $N_0$ )	100
Neurônios por camada	50
Camadas intermediárias	3
Iterações do otimizador	15 000
Função de ativação	tanh

[PINNvsEXATO.gif](#) para ADAM.

# Exemplos

Benjamin-Bona-Mahony (BBM)

Utilizamos o otimizador conhecido como ADAM (Adaptive Moment Estimation), que não é o único disponível pelo DeepXDE.

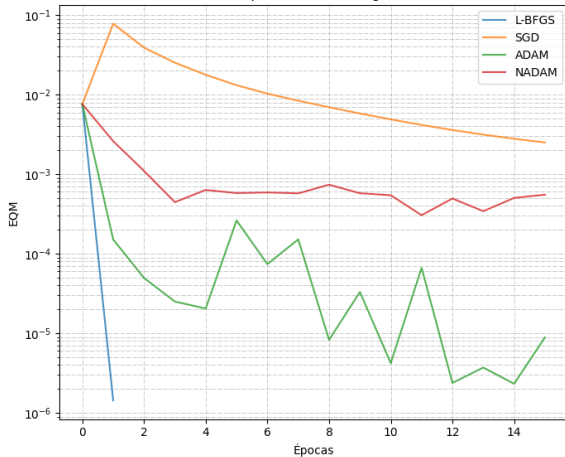
Assim, decidimos testar os seguintes otimizadores:

- ▶ **ADAM** (Adaptive Moment Estimation)
- ▶ **NADAM** (ADAM com *Nesterov Momentum*)
- ▶ **SGD** (Stochastic Gradient Descent)
- ▶ **L-BFGS** (Limited memory *Broyden-Fletcher-Goldfarb-Shanno*)

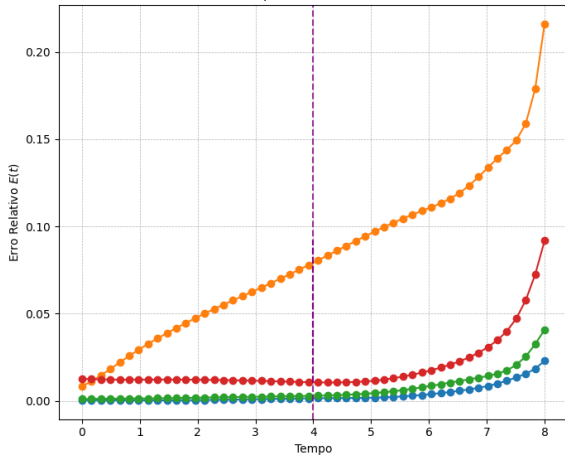
# Exemplos

Benjamin-Bona-Mahony (BBM)

Épocas vs EQM (Log)



Tempo vs Erro Relativo



# Exemplos

Benjamin-Bona-Mahony (BBM)

## Conclusões dos experimentos PINNs vs BBM:

- ▶ Pouca dificuldade para chegar em aproximações satisfatórias em relação às outras equações;
- ▶ Diferente de outras equações, o **L-BFGS** foi o otimizador campeão;
- ▶ Dentro do domínio temporal escolhido, a PINN tem erro satisfatório;
- ▶ Possibilidade de existir uma conexão entre otimizadores de PINNs e a EDP escolhida.



# Exemplos

Benjamin-Bona-Mahony (BBM)

## Conclusões dos experimentos PINNs vs BBM:

- ▶ Pouca dificuldade para chegar em aproximações satisfatórias em relação às outras equações;
- ▶ Diferente de outras equações, o **L-BFGS** foi o otimizador campeão;
- ▶ Dentro do domínio temporal escolhido, a PINN tem erro satisfatório;
- ▶ Possibilidade de existir uma conexão entre otimizadores de PINNs e a EDP escolhida.

# Exemplos

Benjamin-Bona-Mahony (BBM)

## Conclusões dos experimentos PINNs vs BBM:

- ▶ Pouca dificuldade para chegar em aproximações satisfatórias em relação às outras equações;
- ▶ Diferente de outras equações, o **L-BFGS** foi o otimizador campeão;
- ▶ Dentro do domínio temporal escolhido, a PINN tem erro satisfatório;
- ▶ Possibilidade de existir uma conexão entre otimizadores de PINNs e a EDP escolhida.

# Exemplos

Benjamin-Bona-Mahony (BBM)

## Conclusões dos experimentos PINNs vs BBM:

- ▶ Pouca dificuldade para chegar em aproximações satisfatórias em relação às outras equações;
- ▶ Diferente de outras equações, o **L-BFGS** foi o otimizador campeão;
- ▶ Dentro do domínio temporal escolhido, a PINN tem erro satisfatório;
- ▶ Possibilidade de existir uma conexão entre otimizadores de PINNs e a EDP escolhida.

# Exemplos

## Sine-Gordon - Lucas

# Sine-Gordon

## Introdução

**Equação de Sine-Gordon:** A equação de Sine-Gordon é expressa por:

$$\begin{aligned}u_{tt} - u_{xx} + \operatorname{sen}(u) &= 0 & (x, t) &\in (-10, 10) \times (0, 15), \\u(x, 0) &= f(x) & x &\in (-10, 10),\end{aligned}$$

Onde  $f(x) = 4 \arctan\left(\exp\left(\frac{x}{\sqrt{1-a^2}}\right)\right)$ , e  $a$  representa a velocidade de propagação da onda ao longo do eixo  $x$ .

# Sine-Gordon

## Estruturação

Diferente dos outros trabalhos, foram utilizados **algoritmos evolucionários** na minha rede. Tais algoritmos otimizaram:

- ▶ A função de ativação;
- ▶ A arquitetura da rede;
- ▶ O balanço entre a importância das condições da borda e do domínio.

# Sine-Gordon

## Estruturação

Diferente dos outros trabalhos, foram utilizados **algoritmos evolucionários** na minha rede.

Tais algoritmos otimizaram:

- ▶ A função de ativação;
- ▶ A arquitetura da rede;
- ▶ O balanço entre a importância das condições da borda e do domínio.

# Sine-Gordon

## Estruturação

Diferente dos outros trabalhos, foram utilizados **algoritmos evolucionários** na minha rede.

Tais algoritmos otimizaram:

- ▶ A função de ativação;
- ▶ A arquitetura da rede;
- ▶ O balanço entre a importância das condições da borda e do domínio.



# Sine-Gordon

## Parâmetros e Resultados

Parâmetro	Valor
Amplitude inicial ( $a$ )	0.9
Domínio espacial ( $x$ )	$[-10, 10]$
Domínio temporal ( $t$ )	$[0, 15]$
Pontos de colocação no domínio ( $N_f$ )	5 000
Pontos de colocação na fronteira ( $N_b$ )	10 000
Pontos de colocação no valor inicial ( $N_0$ )	10 000
Iterações do otimizador	100
Neurônios por camada (escolha da rede)	33
Camadas intermediárias(escolha da rede)	3
Função de Ativação(escolha da rede)	tanh
População por geração	20
Número de gerações	5

**Melhor Função de Perda:** 4.8e-08.